

Bruk av LiDAR for modellering av geometri og hydraulikk

Knut Alfredsen

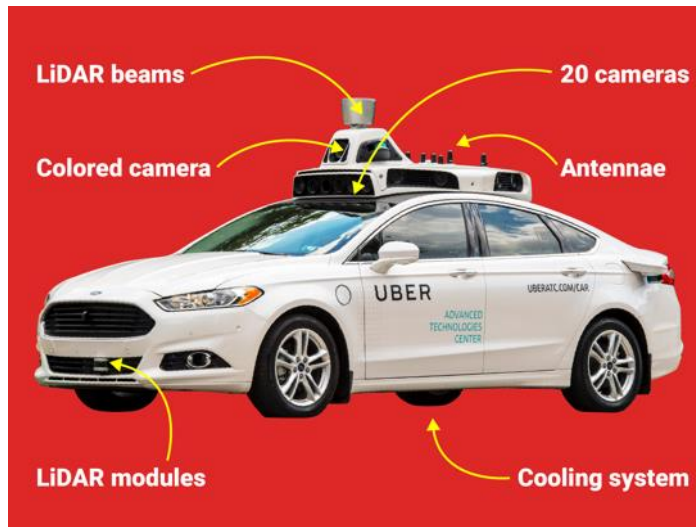
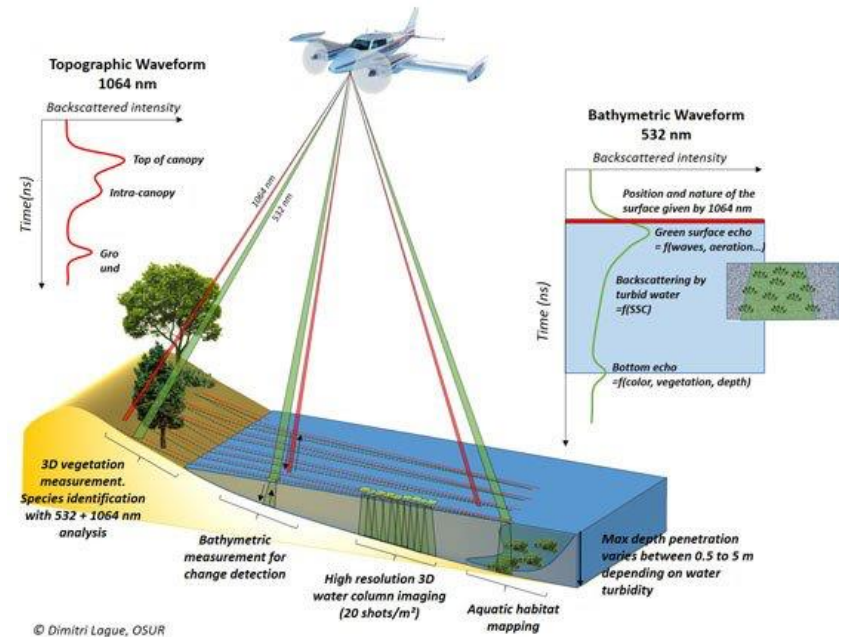
Institutt for bygg og miljøteknikk

NTNU

LiDAR



Full Waveform topo-bathymetric Airborne Lidar

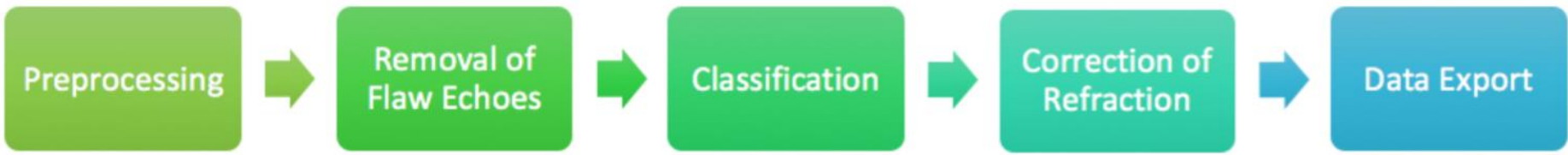
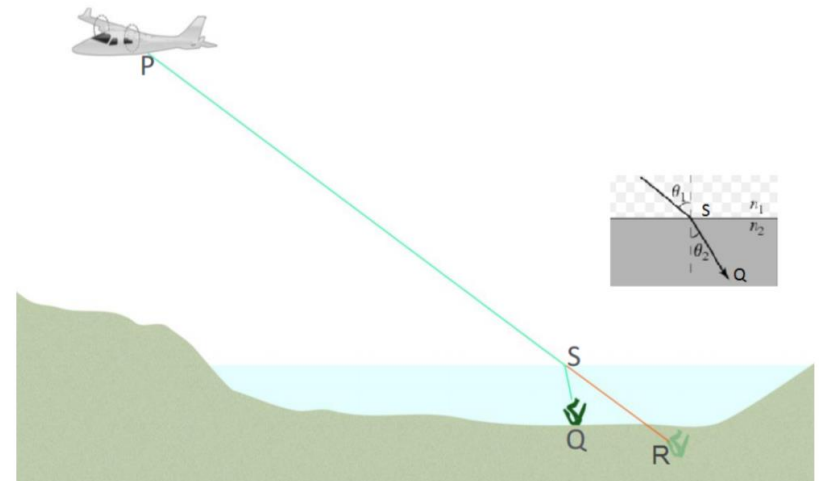
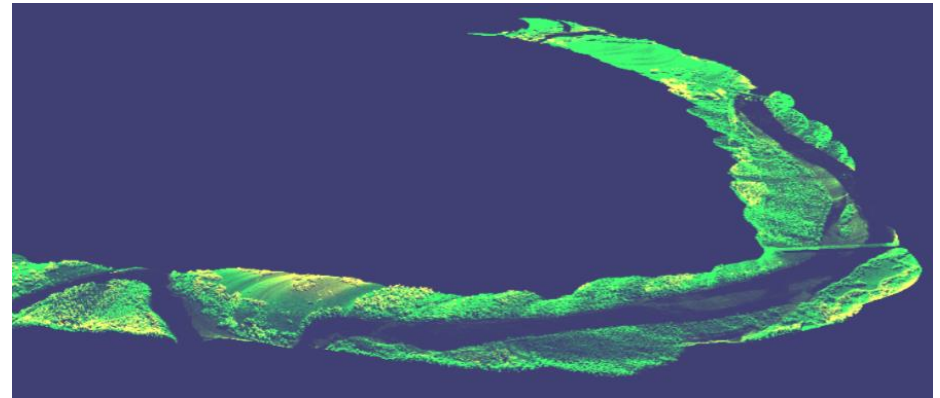
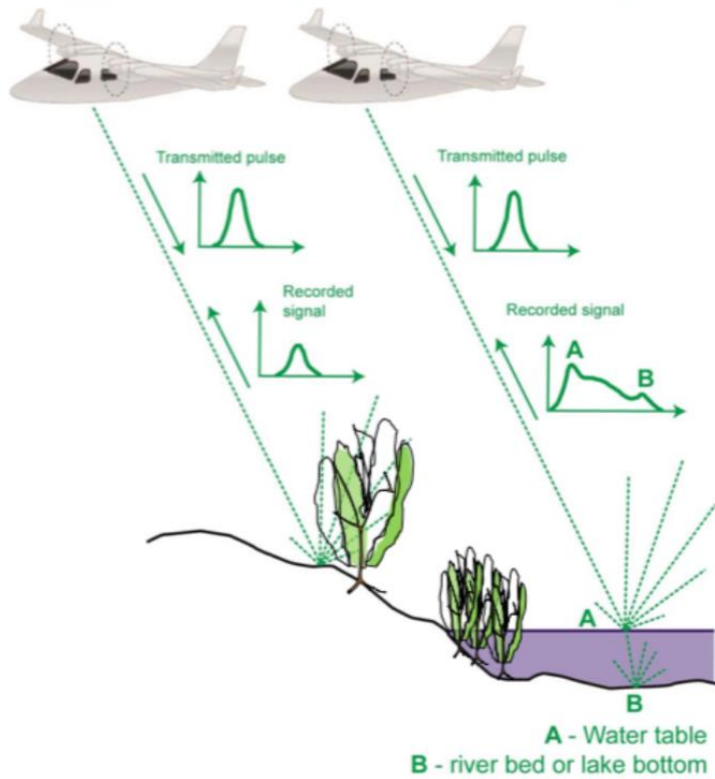


Kvifor LiDAR innan hydrologi?

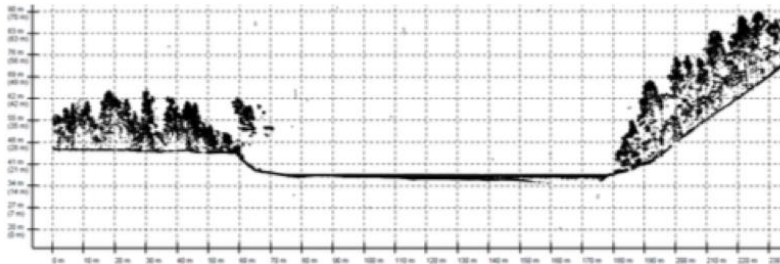
- Svært presise terrengmodellar
 - Grunnlag for å finne hydrologiske data
 - Basis for detaljerte fordelte hydrologiske modellar
- For å sjå på endring i geometri
 - erosjon/sedimentering
- Grunnlag for modellering av hydraulikk
 - Ulike problemstillingar i vassdrag
 - Detaljert geometri gir bedre modellar
 - Modellering av strømning over terreng - flom

LiDAR

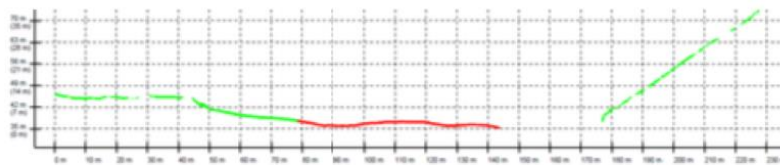
Airborne Mapping: Topographic and Bathymetric Survey within one system



Dataprosesering



(a) Unclassified cross section

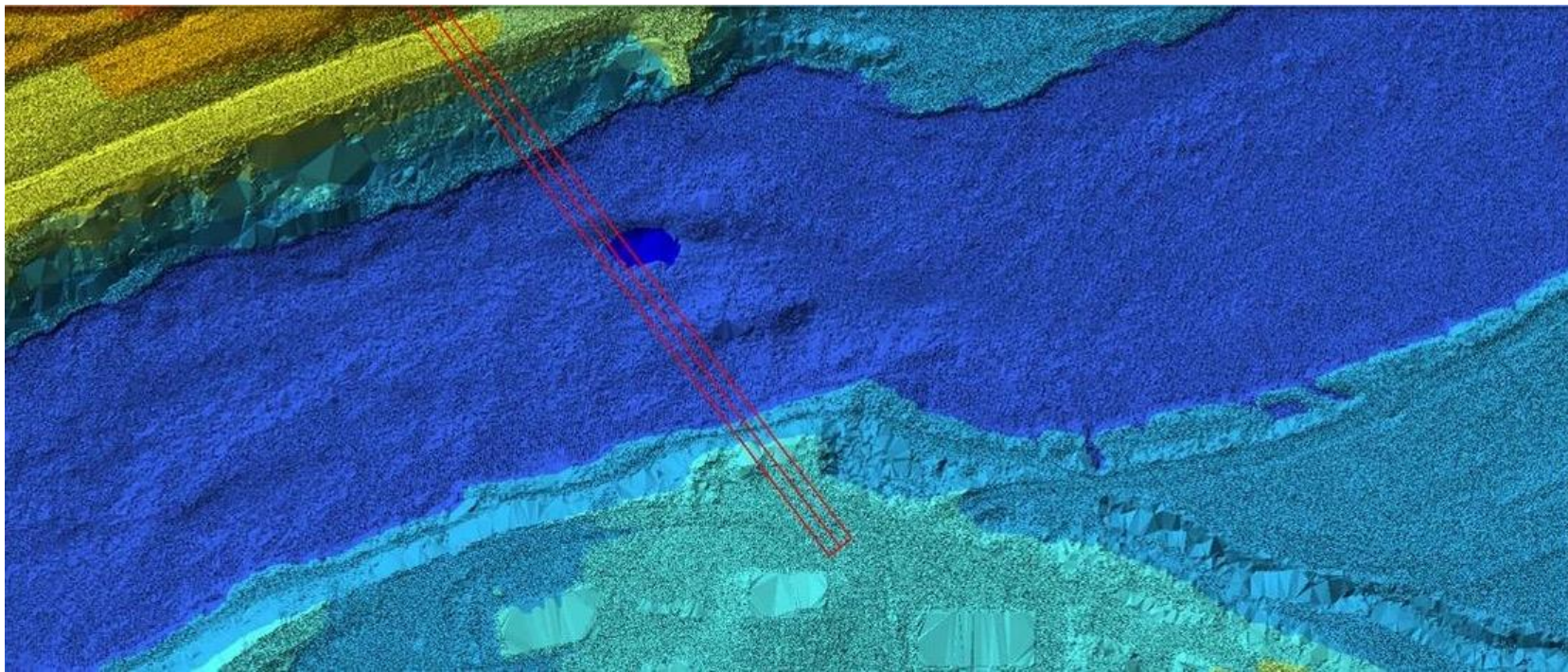


(b) Classified cross sections with river bed (red) and banks (green)

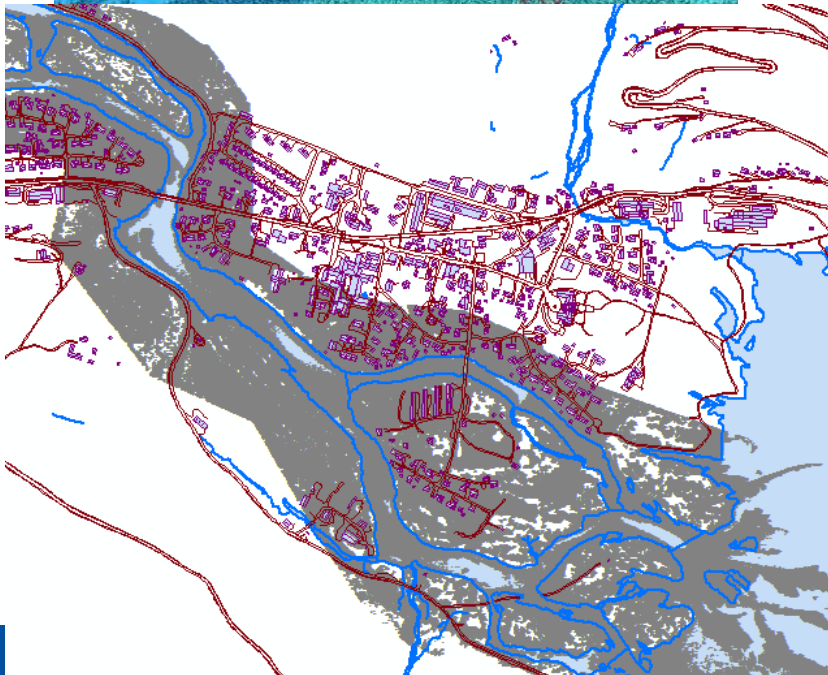
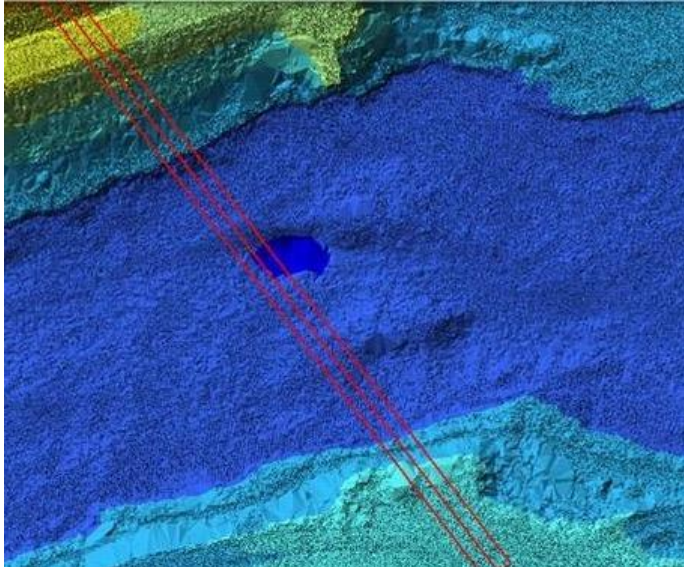


Data

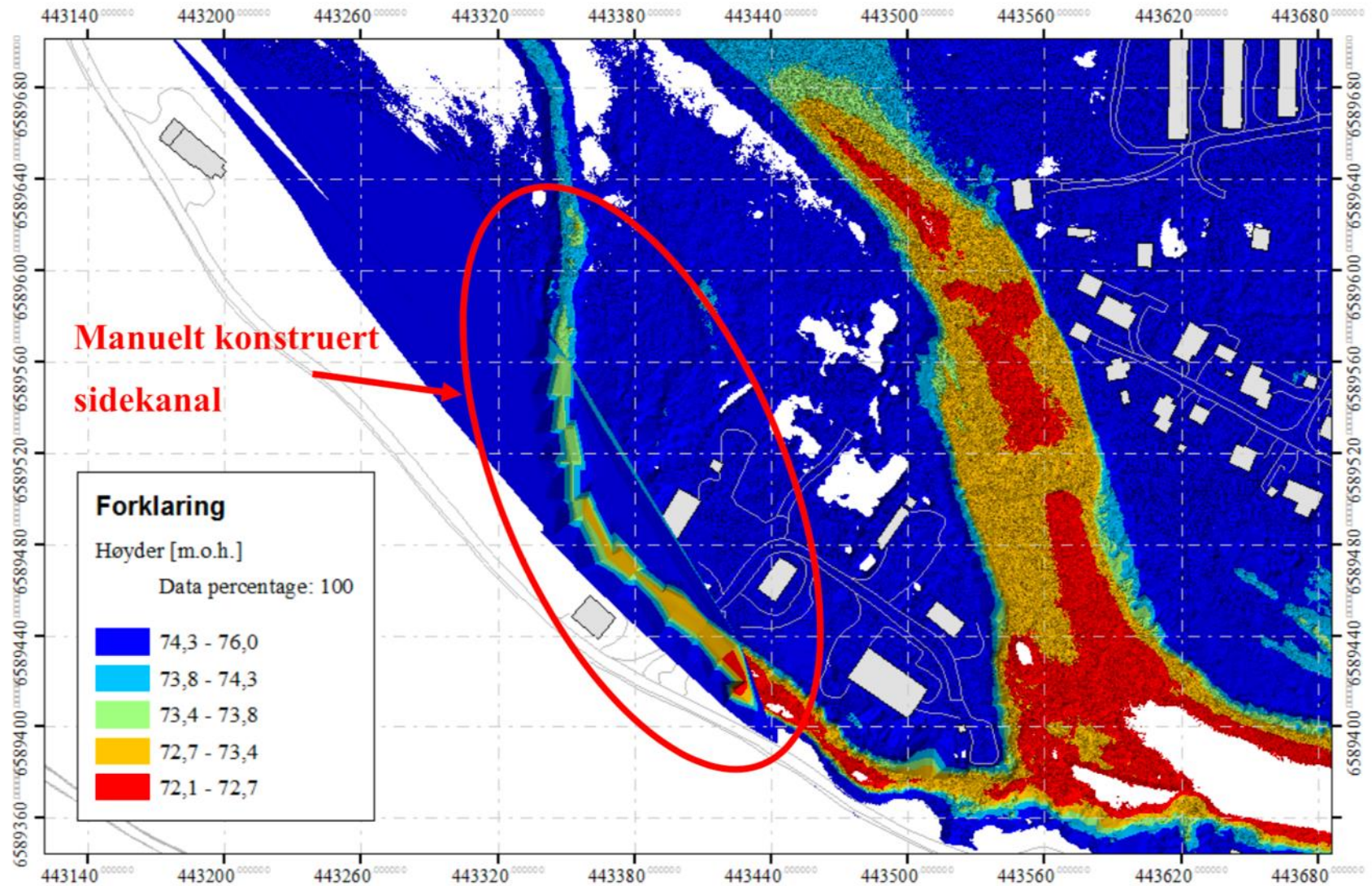
- Punktdata på LAS format – klassifiserte etter type
- Ulike produkt, t.d. 1 x 1 meter terrengmodell, tverrprofil
- LAS gir størst fleksibilitet – lage egne terrengmodellar med den oppløysinga ein vil ha.



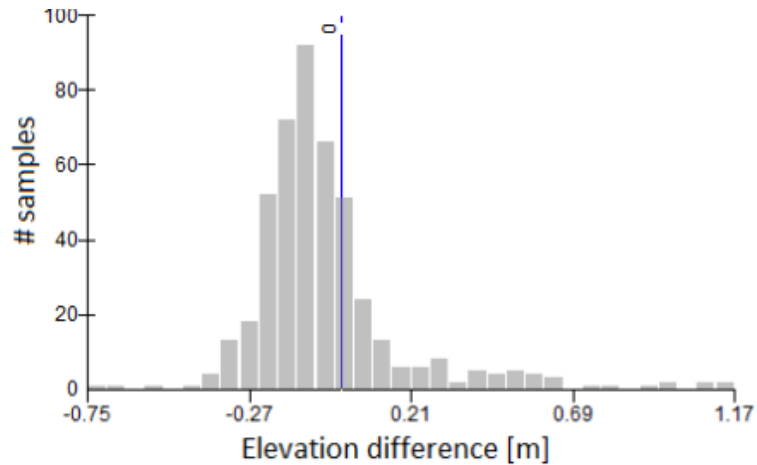
Manglende data ved bruk av grøn laser



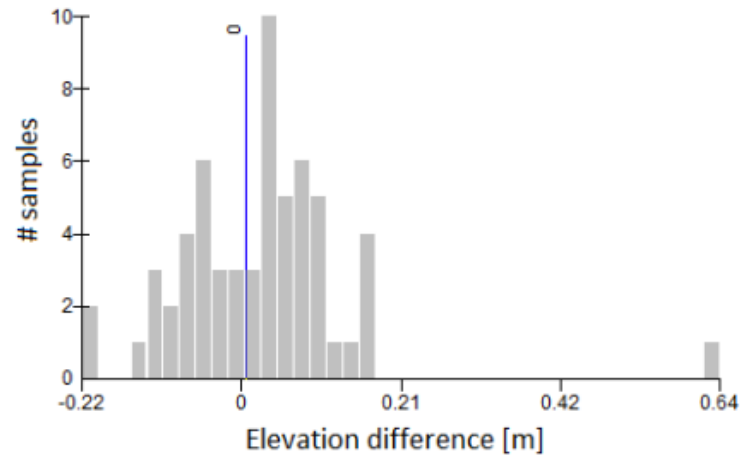
Manglande data



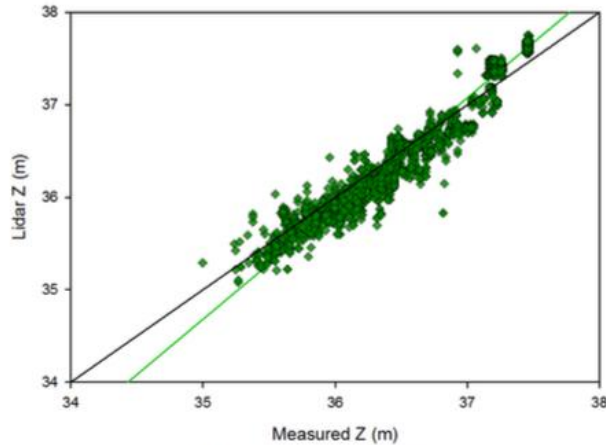
Vurdering av data - Ljungan



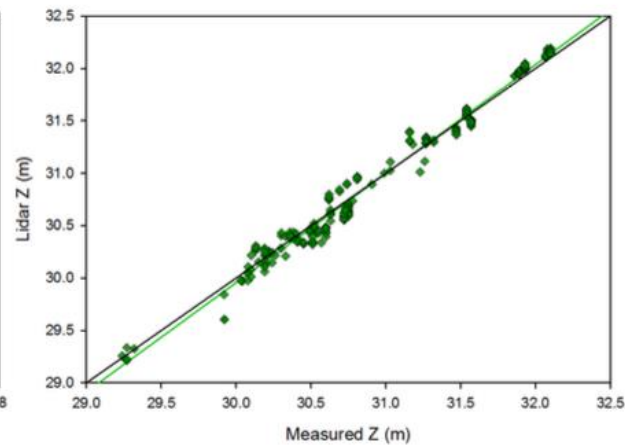
(a) Deep glide



(b) Pool



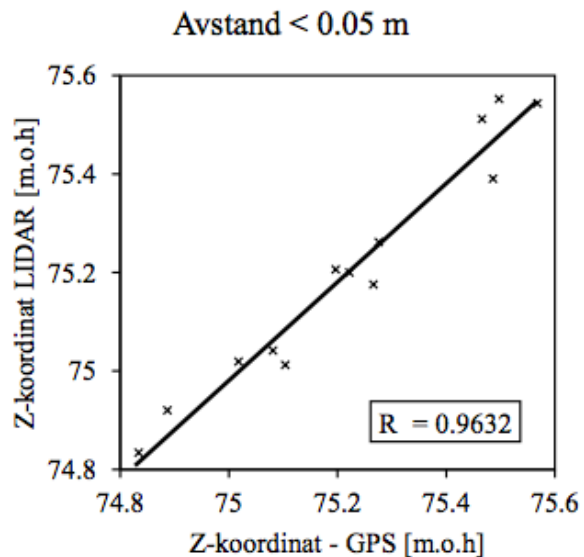
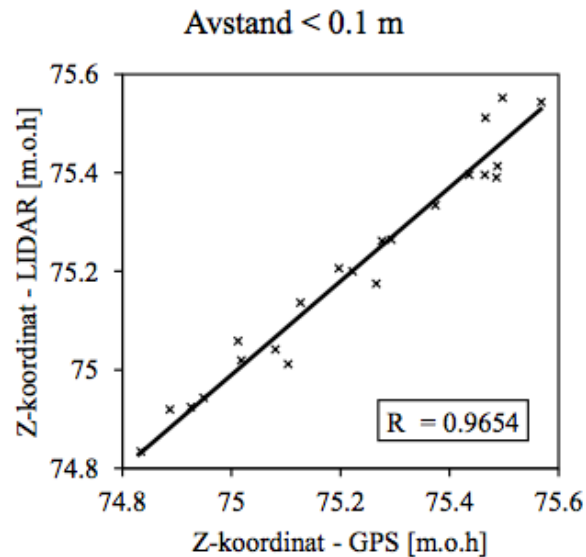
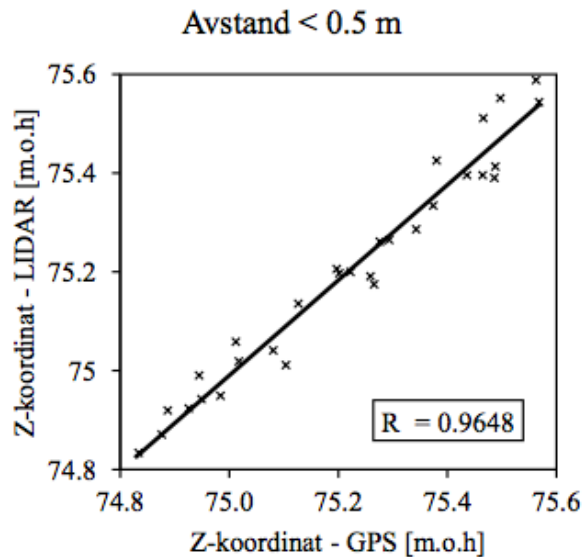
(a) Deep glide $R^2=0.97$



(b) Pool $R^2=0.98$

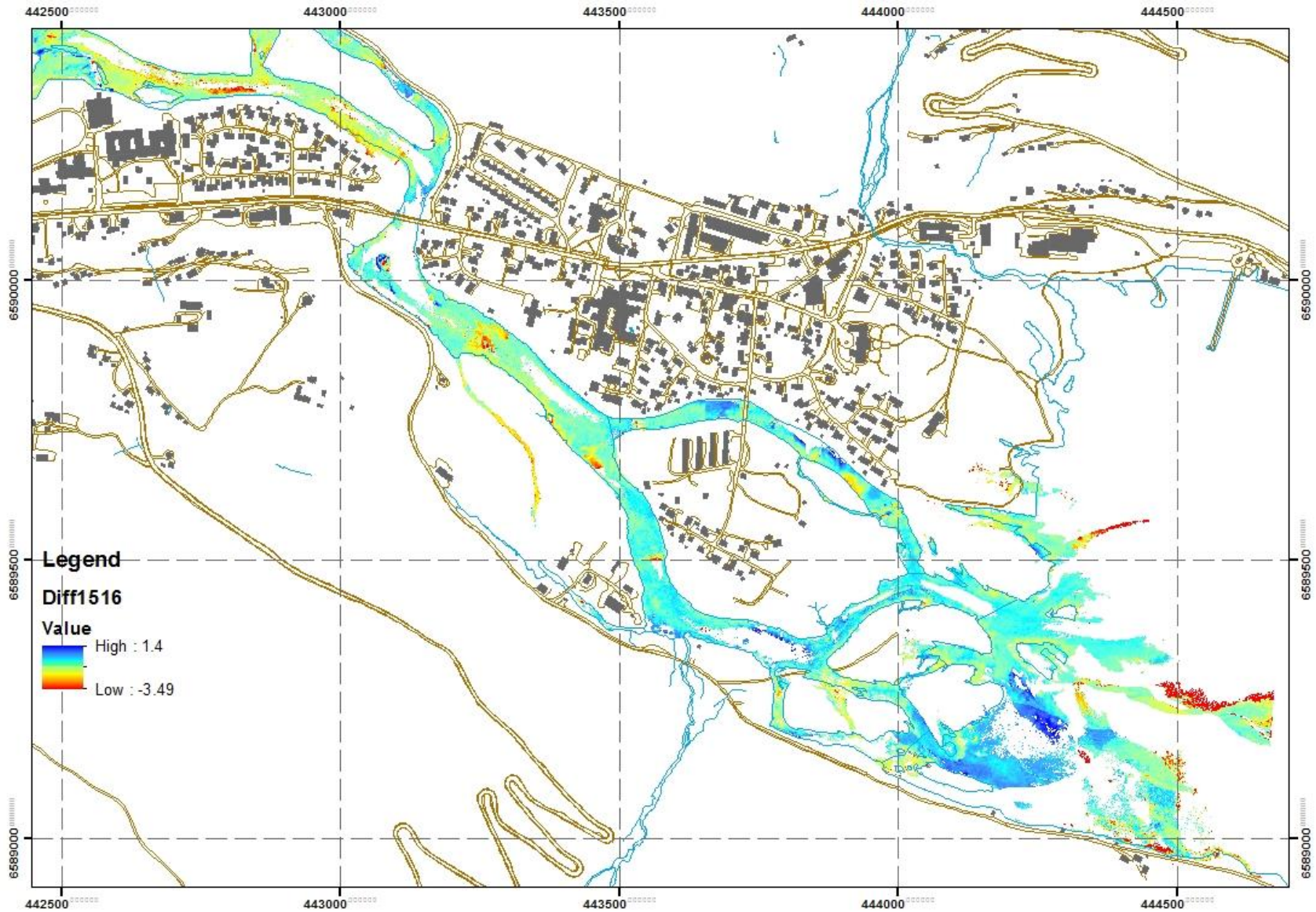
Målt på djupt vatn med DPGS og sonar. Basert på næraste punkt.
Omrekna til ortometrisk med gjennomsnittsverdi

Vurdering av data - Tokke



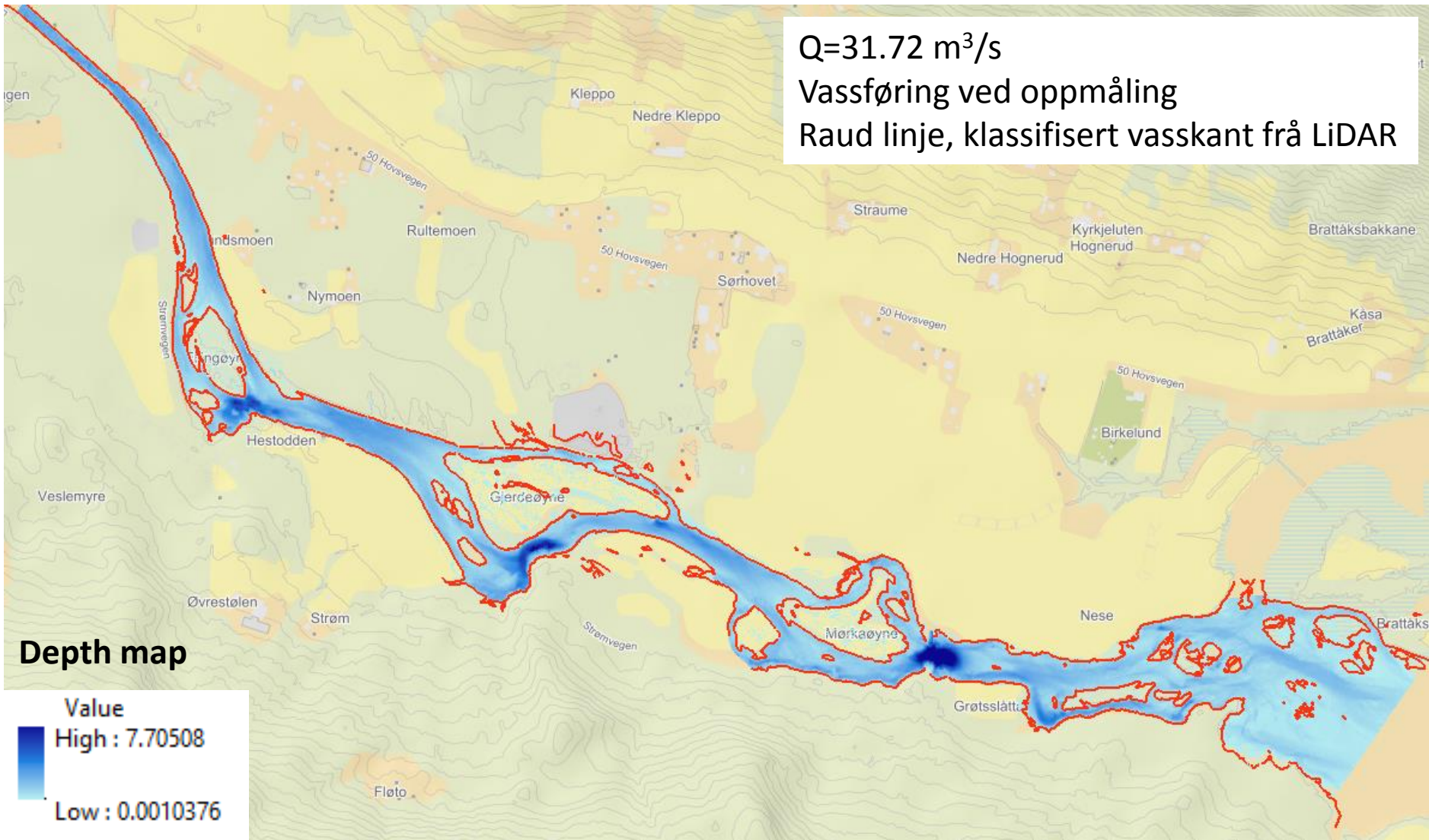
Sted	Avstand [m]	Antall data [-]	Middelfeil [m]	Standardavvik [m]	R ² [-]
Fotballbane ved skolen (GPS)	0.5	29	0.16	0.035	0.85
	0.1	20	0.15	0.035	0.86
	0.05	13	0.14	0.031	0.84
Buøy camping (GPS)	0.5	31	0.017	0.044	0.96
	0.1	23	0.021	0.044	0.97
	0.05	14	0.019	0.049	0.96
Nedstrøms bru (ADCP)	1	1788	-0.021	0.29	0.72
	0.5	1647	-0.0087	0.27	0.75
	0.1	598	0.049	0.23	0.71
Oppstrøms Buøy (ADCP)	0.05	185	0.054	0.23	0.68
	1	221	-0.070	0.16	0.88
	0.5	149	-0.079	0.17	0.80
	0.1	42	-0.028	0.14	0.85
	0.05	11	-0.0071	0.13	0.87

Endring i geometri

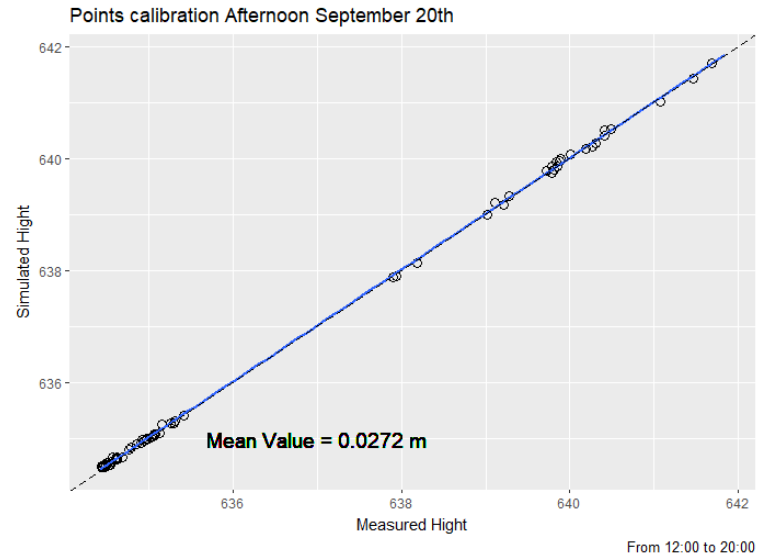
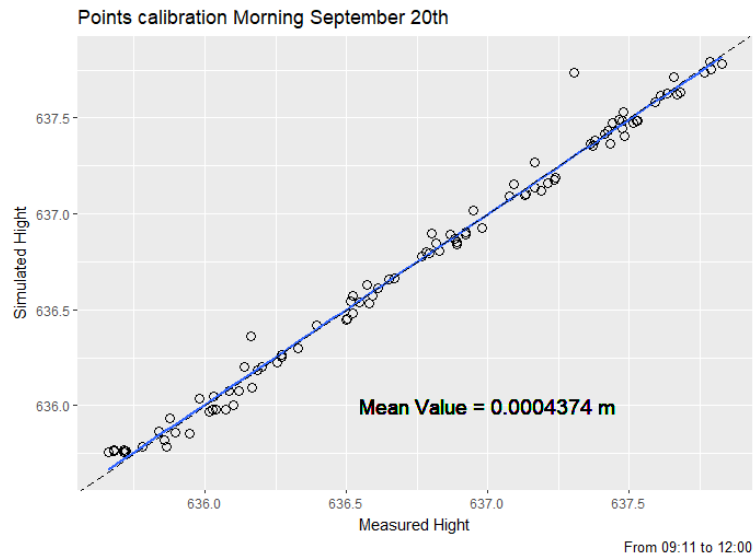
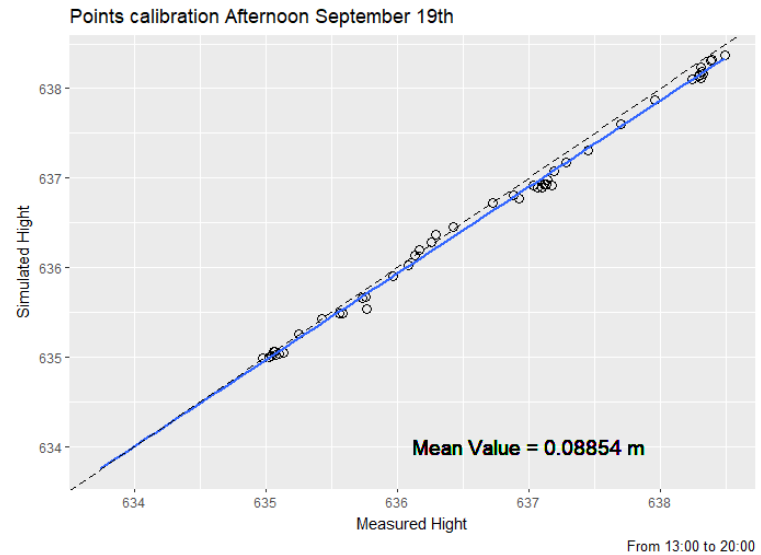
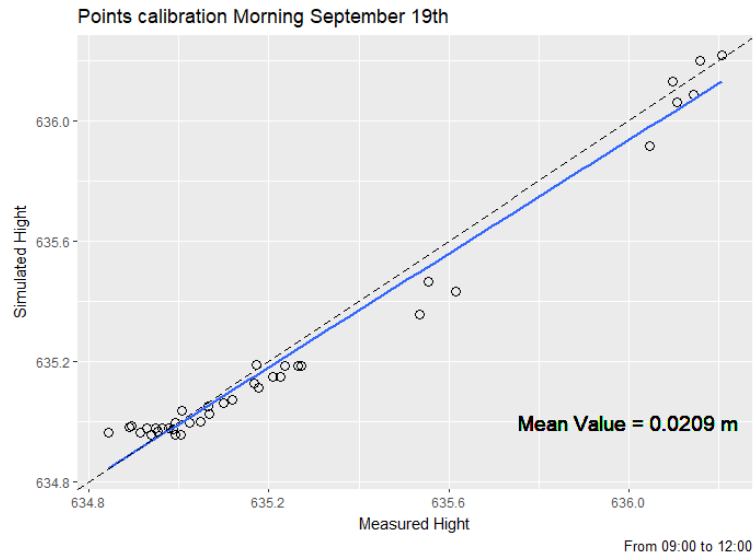


Modellering av tørrlegging

$Q=31.72 \text{ m}^3/\text{s}$
Vassføring ved oppmåling
Raud linje, klassifisert vasskant frå LiDAR



Kontroll målt vannlinje



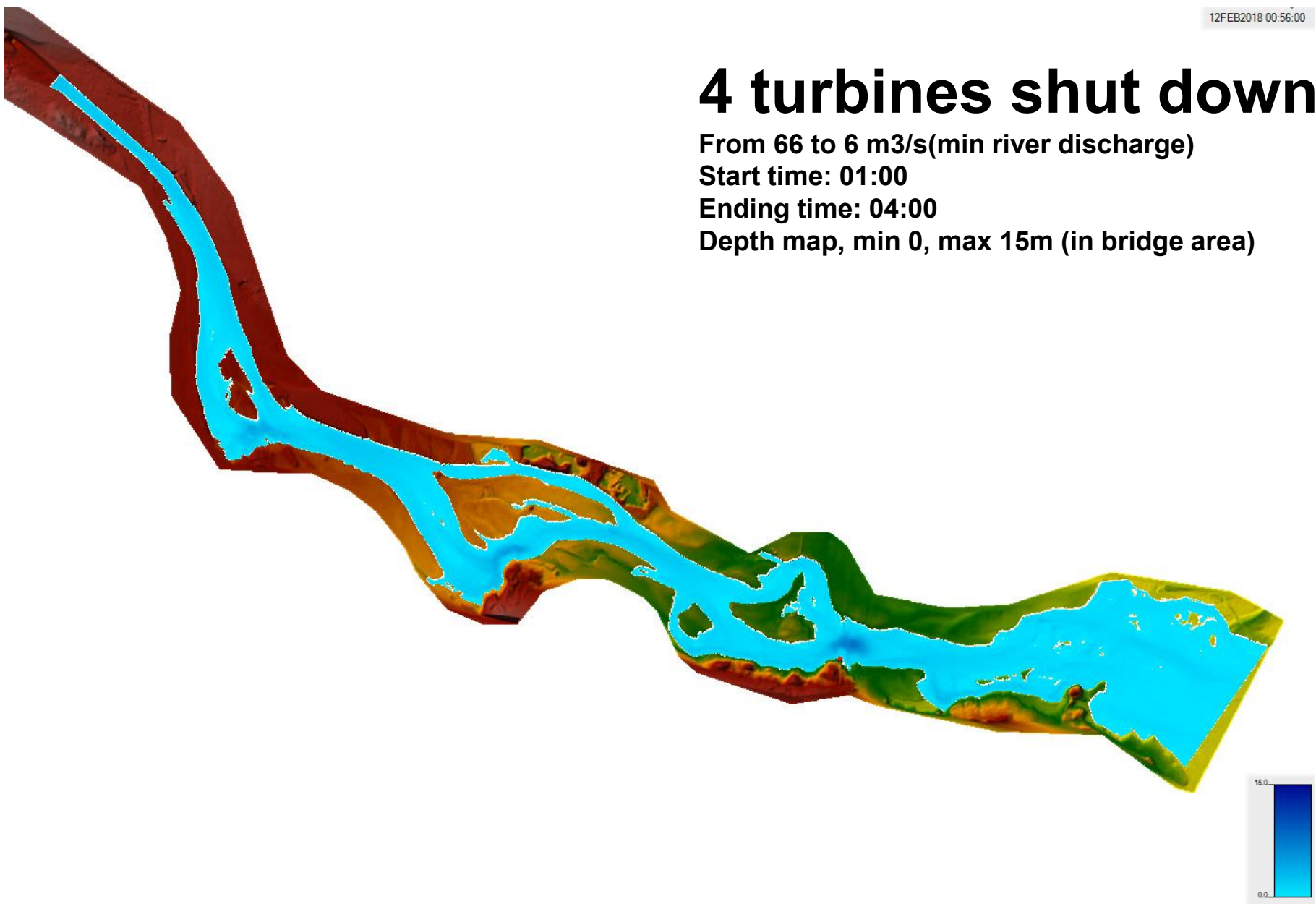
4 turbines shut down

From 66 to 6 m³/s (min river discharge)

Start time: 01:00

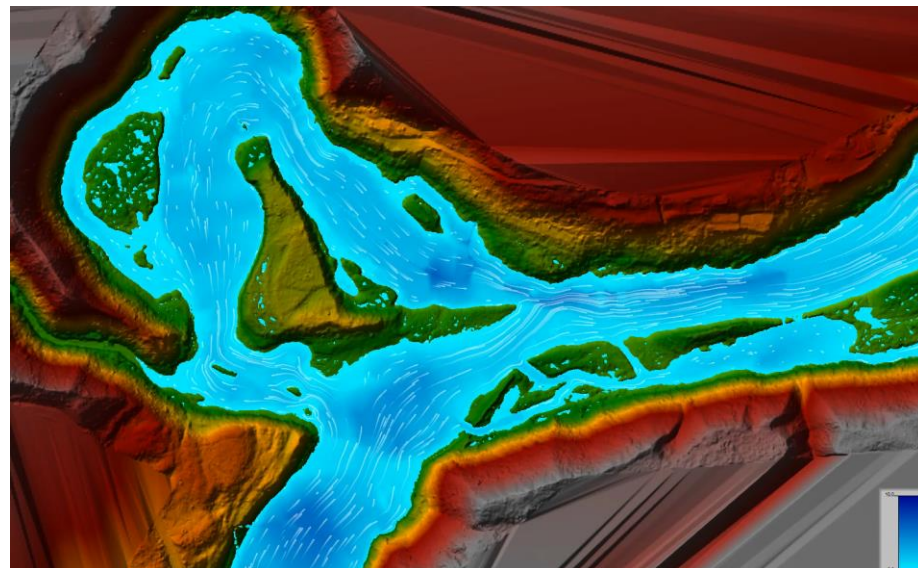
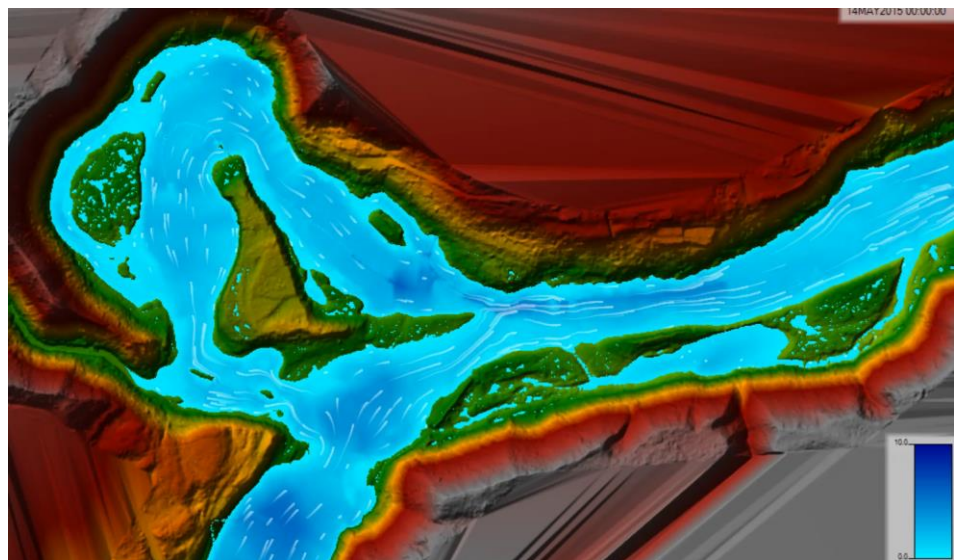
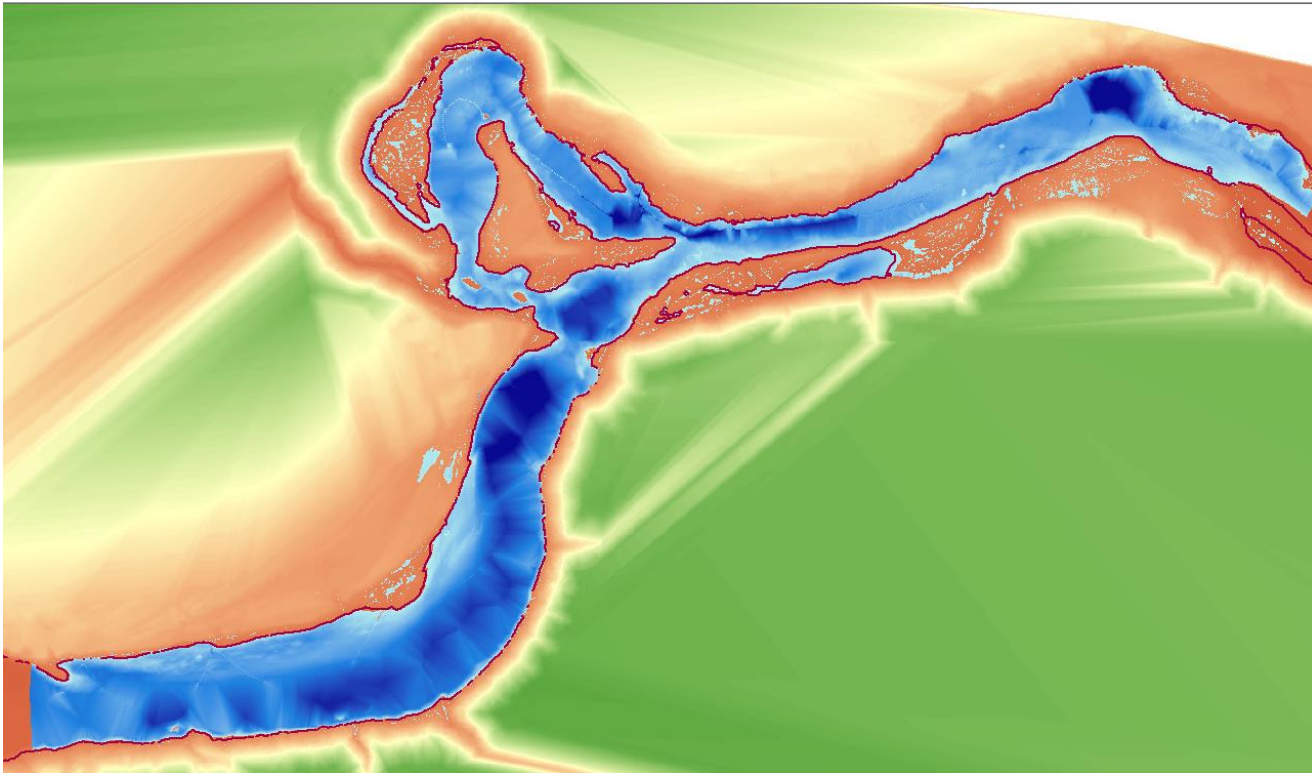
Ending time: 04:00

Depth map, min 0, max 15m (in bridge area)

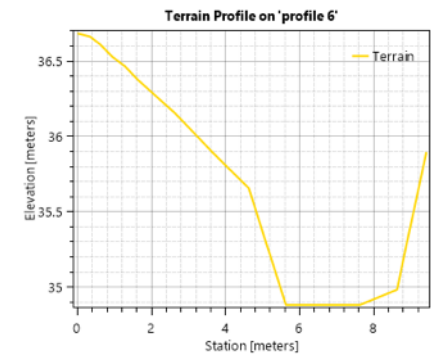
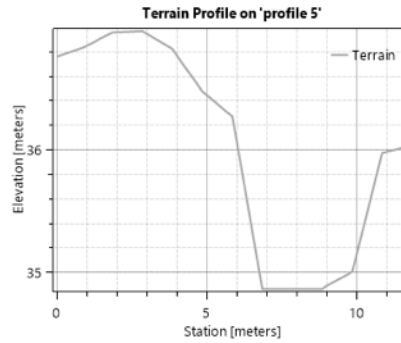
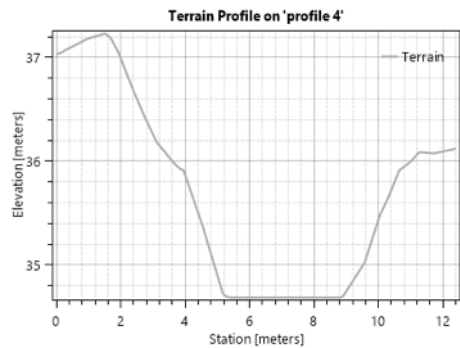
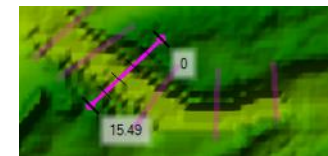
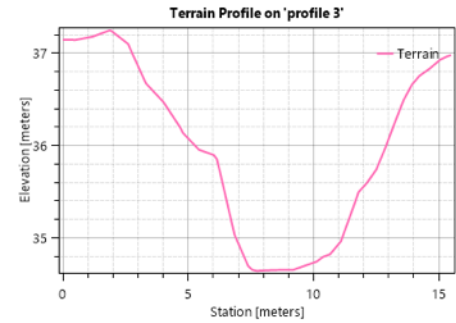
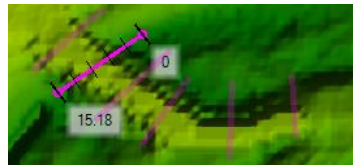
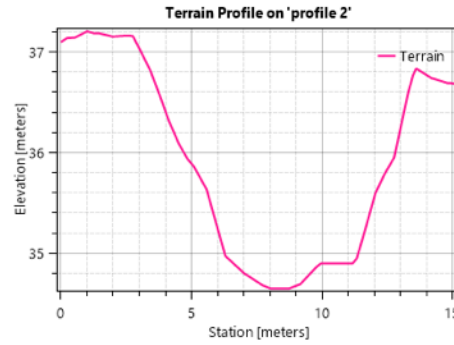
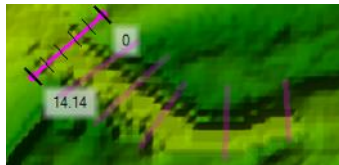
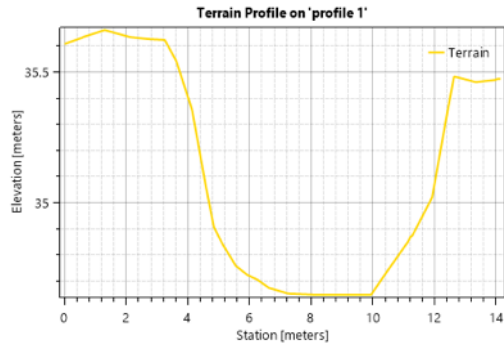


Restaurering av vassdrag





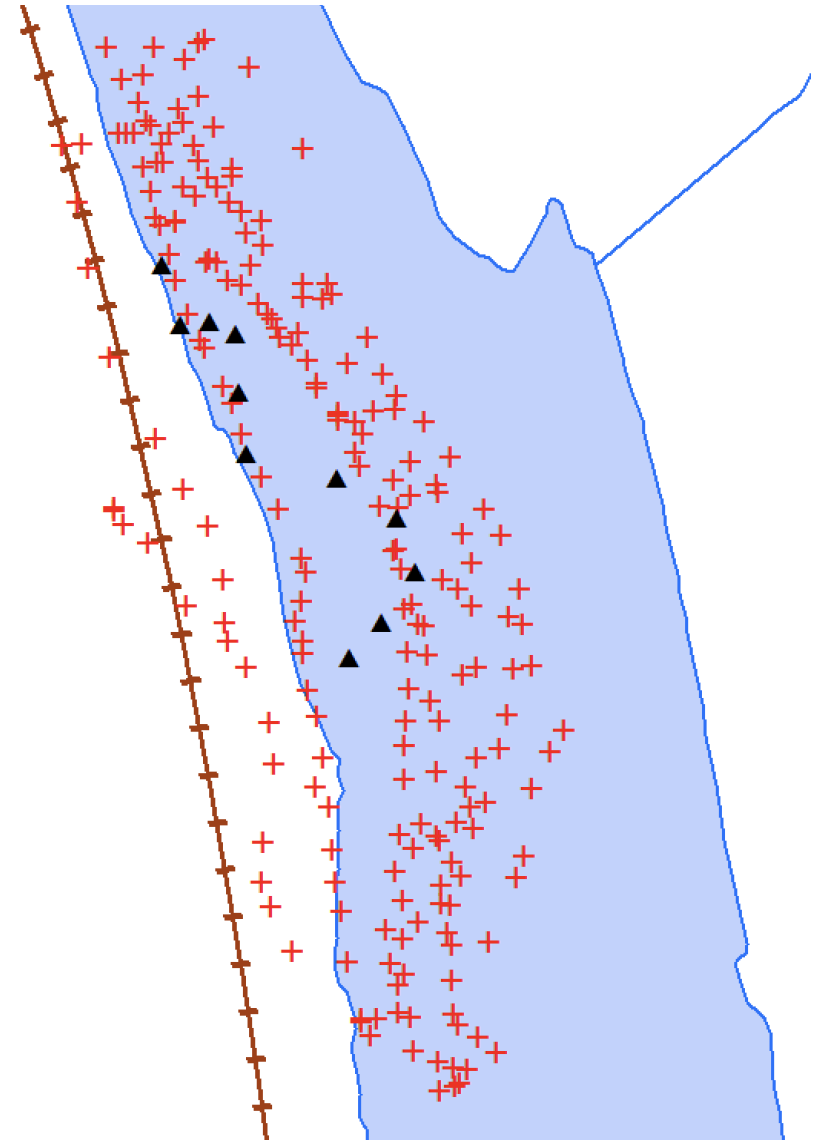
Utforming av ny kanal



Grenforsen – etter endringar

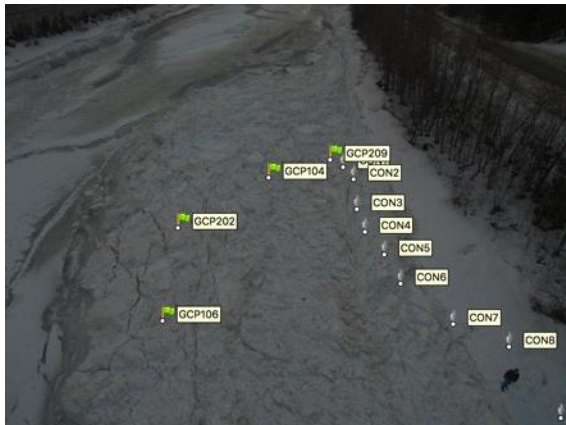
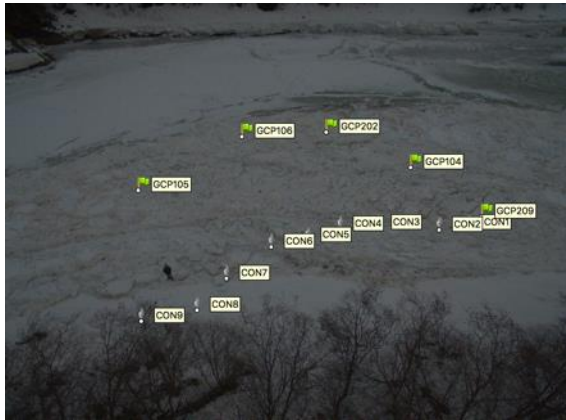


Kopling LiDAR andre geometridata

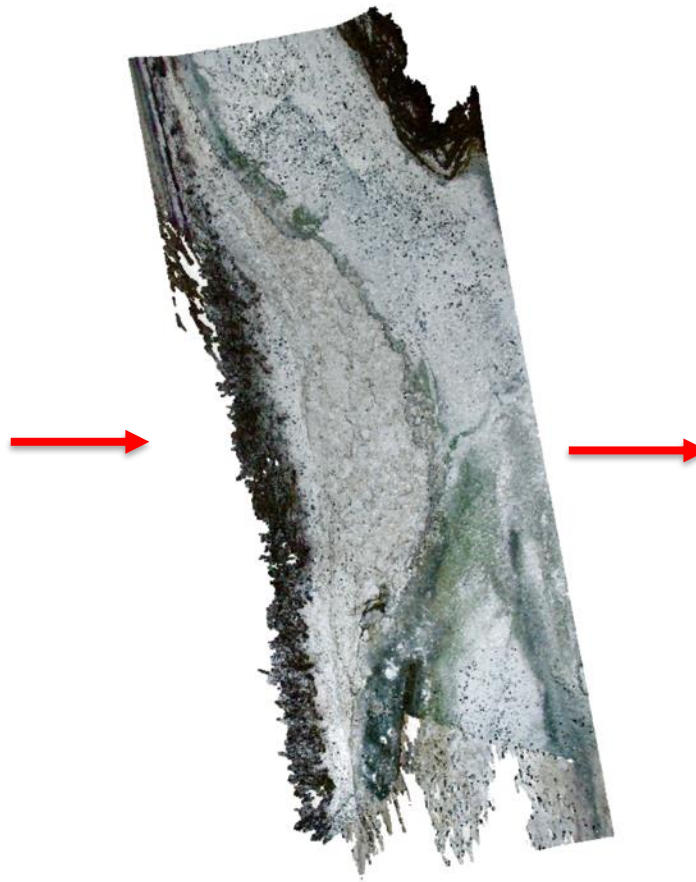


Structure from motion

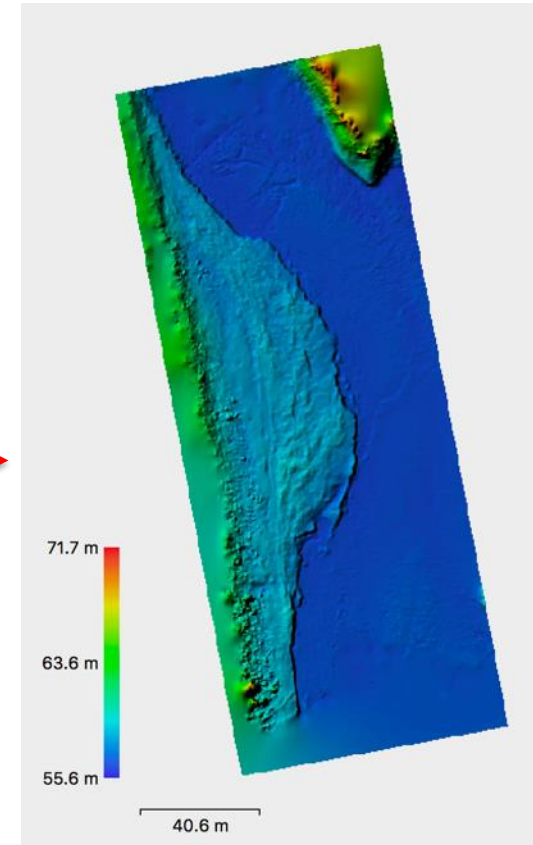
Bilete med kontrollpunkt



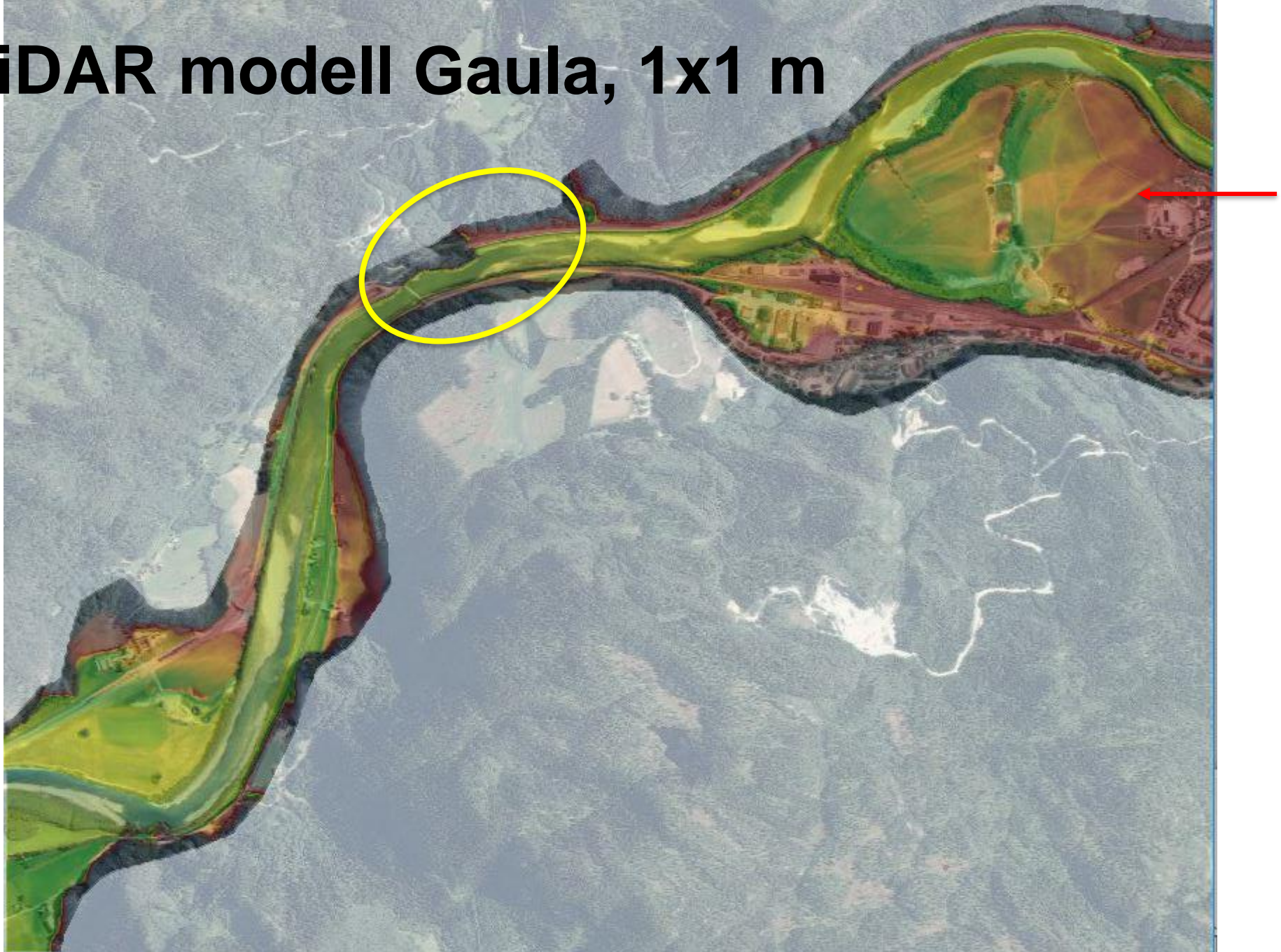
Punktsky



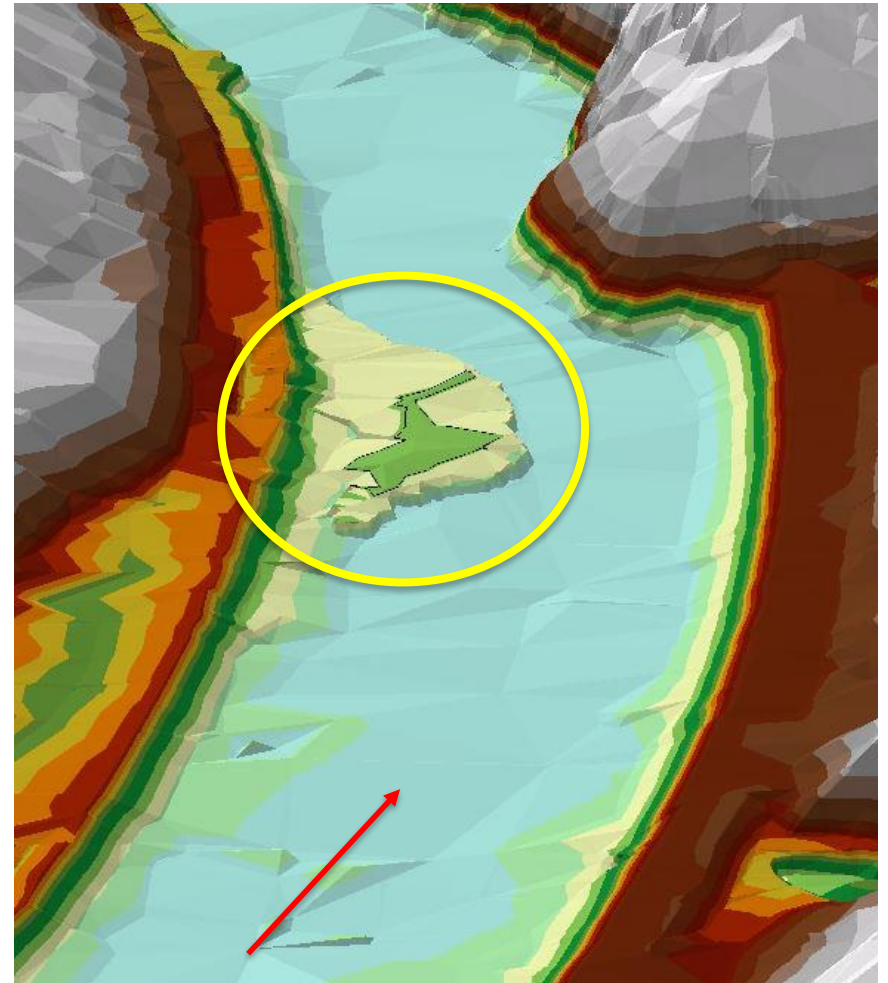
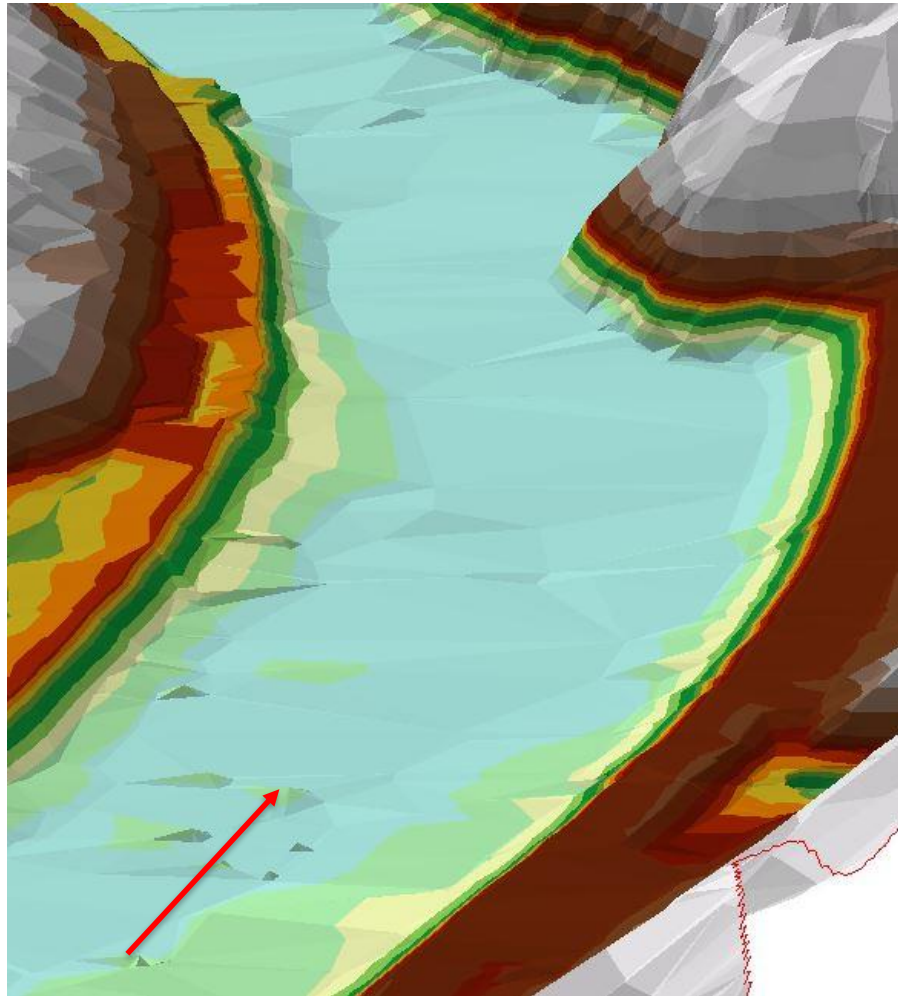
Digital Terreng Modell



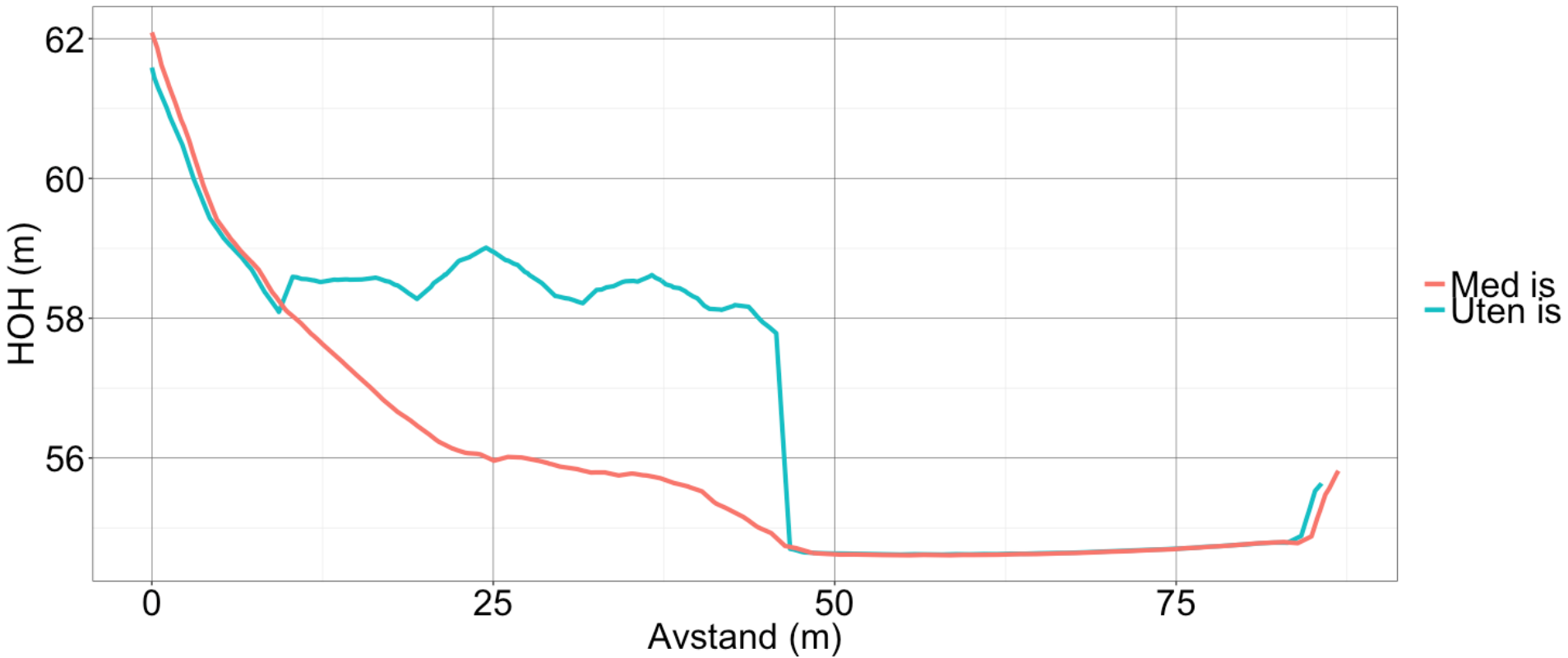
LiDAR modell Gaula, 1x1 m

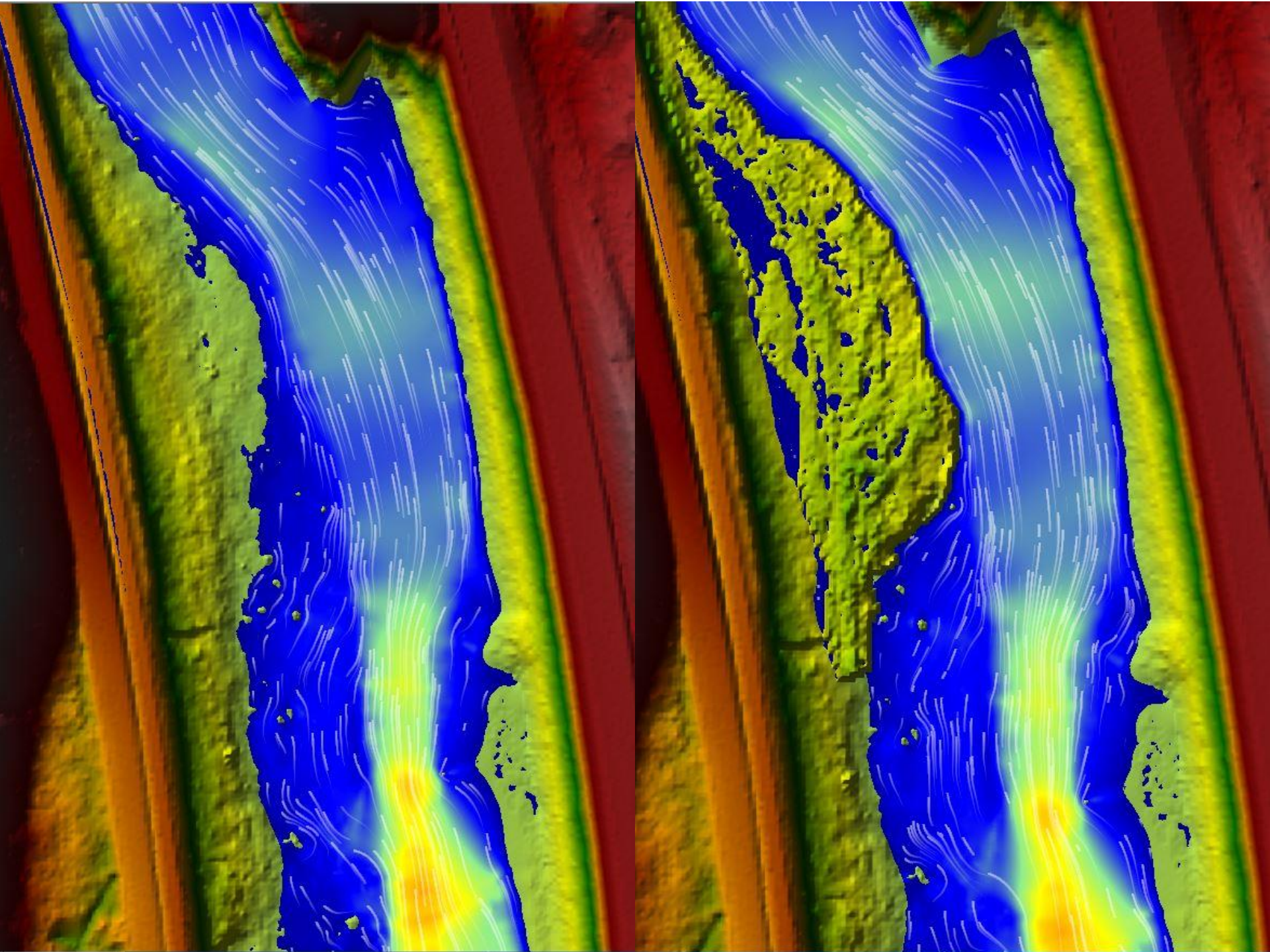


Batymetri med og utan is



Tverrprofil





Oppsummering

- Effektiv måte å skaffe svært detaljerte datasett
- Presisjonen verkar å vere god.
- Grunnlag for analyse av terreng - t.d. erosjon
- Svært godt grunnlag for modellering innan hydrologi og hydraulikk

Takk til: Ingrid Alne, Ragnhild Hammeren, Ana Adeva Bustos, Carole Rozier, Aurelie Gosset, Iacopo Muscara, Lars Skeie, Konstantina Papanikolaou og Ana Juarez.

Morten Stickler, Bjørn Otto Dønnum og NVE for data.